

## 9 Anhang

### A1 Verzeichnis der verwendeten Abkürzungen

AD	Analog-Digital-(Wandler)
CCD	Charge Coupled Device (Halbleitertechnologie zur Erzeugung lichtempfindlicher Sensoren)
DCCT	„Diabetes Control and Complications Trial“ (Studie über Verringerung der Folgeerkrankungen bei intensivierter Insulintherapie)
DMS	Data Management System (Datenbank zur Ablage experimenteller Daten)
EGA	Error Grid Analysis (medizinisch gewichtete Bewertungsmatrix für Fehler bei der Kalibration von Glucosemessgeräten)
FIR	Fernes Infrarot (25 - 500 µm; 400 - 20 cm <sup>-1</sup> )
GOD	Glucoseoxidase
HbA <sub>1c</sub>	Meßwert für irreversibel verzuckertes Hämoglobin (Normalwert ca. 5%)
Hb	deoxigeniertes Hämoglobin
HbO <sub>2</sub>	oxigeniertes Hämoglobin
HK	Hexokinase
ISF	Interstitielle Flüssigkeit
LSB	Least Significant Bit (kleinste darstellbare Änderung bei AD-Wandlern; Digitalisierungsschrittweite)
MIR	Mittleres Infrarot (2.5 - 25 µm; 4000 - 400 cm <sup>-1</sup> )
MLR	Multiple Lineare Regression (Oberbegriff für verschiedene lineare Regressionsverfahren z.B. OLS, PCR)
NI	nichtinvasiv
NIT	Non Invasive Technology (Bezeichnung der Sensorköpfe)
NIR	Nahes Infrarot (800 - 2500 nm; 12 500 - 4 000 cm <sup>-1</sup> )
IDDM	Insulin Dependent Diabetes Mellitus (angelsächs. für Typ-I-Diabetes)
NIDDM	Non-Insulin Dependent Diabetes Mellitus (angelsächs. für Typ-II-Diabetes)
OCT	Optical Coherence Topography (bildgebendes Darstellungsverfahren mittels kohärentem Licht)
OGTT	Oraler Glucose Toleranztest

PCR	<b>P</b> rincipal <b>C</b> omponent <b>R</b> egression (Hauptkomponentenregression)
PLS	<b>P</b> artial <b>L</b> east <b>S</b> quares Regression (Hauptkomponenten-basiertes Regressionsverfahren)
PRESS <sub>cv</sub>	<b>P</b> redictive <b>R</b> esidual <b>S</b> um of <b>S</b> quares <b>c</b> ross- <b>v</b> alidated (Fehlerquadratsumme der Vorhersage mittels Kreuzvalidierung)
SEC	<b>S</b> tandard <b>E</b> rror of <b>C</b> alibration (Standardfehler der Kalibration)
SEP	<b>S</b> tandard <b>E</b> rror of <b>P</b> rediction (Standardfehler der Vorhersage)
SVD	<b>S</b> ingular <b>V</b> alue <b>D</b> ecomposition (Singulärwertzerlegung)
UKPDS	„ <b>U</b> K <b>P</b> rospective <b>D</b> iabetes <b>S</b> tudy“ (Britische Studie über Verringerung der Folgeerkrankungen bei Typ-II-Diabetikern)

## A2 Abbildungsverzeichnis

Abb. 1	Wechselwirkungen von Blutglucose und Insulin [5]	5
Abb. 2	Verlauf der Glucosekonzentration über einen Zeitraum von 32 Stunden	8
Abb. 3	Veröffentlichungen und Patente zur nichtinvasiven Glucosebestimmung [30]	14
Abb. 4	Absorptionsspektren wesentlicher Hautinhaltsstoffe [32]	15
Abb. 5	Prinzip der ortsaufgelösten Reflexionsmessungen	20
Abb. 6	Aufbau der Haut [84]	22
Abb. 7	Anisotropie der Lichtausbreitung durch kollagene Fasern [89]	24
Abb. 8	Nach therapeutischer Konsequenz gewichtete Bewertung der Residuen (EGA)	35
Abb. 9	Faseroptisches Spektrometer zur ortsaufgelösten Bestimmung der Reflexion	38
Abb. 10	Aufbau Sensorkopf NIT1.36 (vergrößert)	40
Abb. 11	Datenfluß und Programme im DMS	44
Abb. 12	Unterschiedlich verrauschte Signale in Abhängigkeit vom gewählten Algorithmus	48
Abb. 13	Intensitäts-Zeit-Verlauf bei Variation von Glucose mit Störung einzelner Detektoren	49
Abb. 14	Arbeitsblatt mit Ergebnissen der $\mu_a/\mu'_s$ -Berechnung	50
Abb. 15	Veränderung der Gültigkeit der Diffusionstheorie mit der Wellenlänge	52
Abb. 16	Wertebereich für <i>in vivo</i> Intensitätsprofile mit unterschiedlichen optischen Eigenschaften	54
Abb. 17	Gemessene und berechnete Intensitätsprofile für verschiedene Interface-varianten bei variierendem $n_{rel}$ [1.0–1.8]	56
Abb. 18	Ergebnisse der $\mu_a/\mu'_s$ -Berechnung bei geändertem Randwert $n_{rel}$ und variierender Reflektivität des Detektors	57
Abb. 19	Abweichung der mit der Diffusionstheorie berechneten Streueigenschaften von den Vorhersagen der MIE-Theorie	58
Abb. 20	Einfluß von Reflexion an der Grenzfläche und numerischer Apertur der Faserplatte	59
Abb. 21	Arbeitsblatt zur Ermittlung der Parameter für die Temperaturkompensation von NIT-1.37- Meßköpfen [109]	61
Abb. 22	Mittelwerte und Standardabweichung der Resultate von Temperaturversuchen	63
Abb. 23	Veränderung des mit unterschiedlichen Algorithmen errechneten Absorptionskoeffizienten bei einem Temperaturversuch	65
Abb. 24	Veränderung des Oxigenierungsgrades in Abhängigkeit vom Abstand und seine Korrelation zur Temperatur	67
Abb. 25	OCT Aufnahme der oberen Hautschichten	68
Abb. 26	Mittelwert und Standardabweichung der Intensitäten bei 1.2 mm und 805 nm für 10 Langzeitexperimente über je vier Tage	69
Abb. 27	Langzeitexperiment mit periodischen Mustern des Streukoeffizienten	70
Abb. 28	Reaktion von Streu- und Absorptionskoeffizient auf Lageänderungen	72
Abb. 29	Muskelkontraktionen bilden sich ebenfalls in den optischen Eigenschaften der Haut ab	73

Abb. 30	Blut- und ISF-Glucose bei unterschiedlicher Geschwindigkeit der Glucose-variation	75
Abb. 31	Wirkung von Boli mit physiologischer Kochsalzlösung auf das $\mu'_s$ -Signal	77
Abb. 32	Einfluß der Insulininfusion auf $\mu'_s$	77
Abb. 33	Drift überlagert das Meßsignal und ist durch eine Dreipunktkalibration nur ungenügend zu modellieren	80
Abb. 34	Veränderungen der Randbedingungen für die Diffusionsnäherung führen zu falschen Ergebnissen	81
Abb. 35	Drift, Zeitkonstanten und ungünstige Wahl der Kalibrationspunkte verfälschen das Modell	82
Abb. 36	Mittelwerte der Standardfehler bei OLS-Kalibration	83
Abb. 37	Zeitverlauf der Intensitäten in unterschiedlichem Abstand zur Lichtquelle bei Veränderung der Glucosekonzentration	84
Abb. 38	Ladungen für zwei Hauptkomponenten P6H0607a	85
Abb. 39	Mit einer Dreipunktkalibration über PCR und Reflexionsdaten berechnetes Resultat	87
Abb. 40	Mittelwerte von SEC und SEP für PCR-Kalibrationsmodelle	88
Abb. 41	Arbeitsblatt mit Resultaten für kontinuierliche und Dreipunktkalibration (oben bzw. unten) von PCR- und OLS-Modellen	91
Abb. 42	Einfluß der einzelnen Variablen auf die Kalibrationsmodelle	92
Abb. 43	EGA-Bewertung von Ergebnissen der Dreipunktkalibration mittels OLS und Diffusionstheorie	93

### A3 Nomenklatur DMS Test-Identifikationsnummer

Beschreibung	Typ	Stellenzahl	Beispiel
Code für Meßgerät	Alphabetisch	1	W siehe Anlage A4
Letzte Stelle der Jahreszahl des Versuches	Numerisch	1	1996
Monat des Versuches	Alphabetisch	1	Januar = A, Februar = B
Tag des Versuches	Numerisch	2	22
Seriennummer des Meßgeräts	Numerisch	2	07
Versuchsnummer am Tag des Versuches	Alphabetisch	1	1. = A, 2. = B

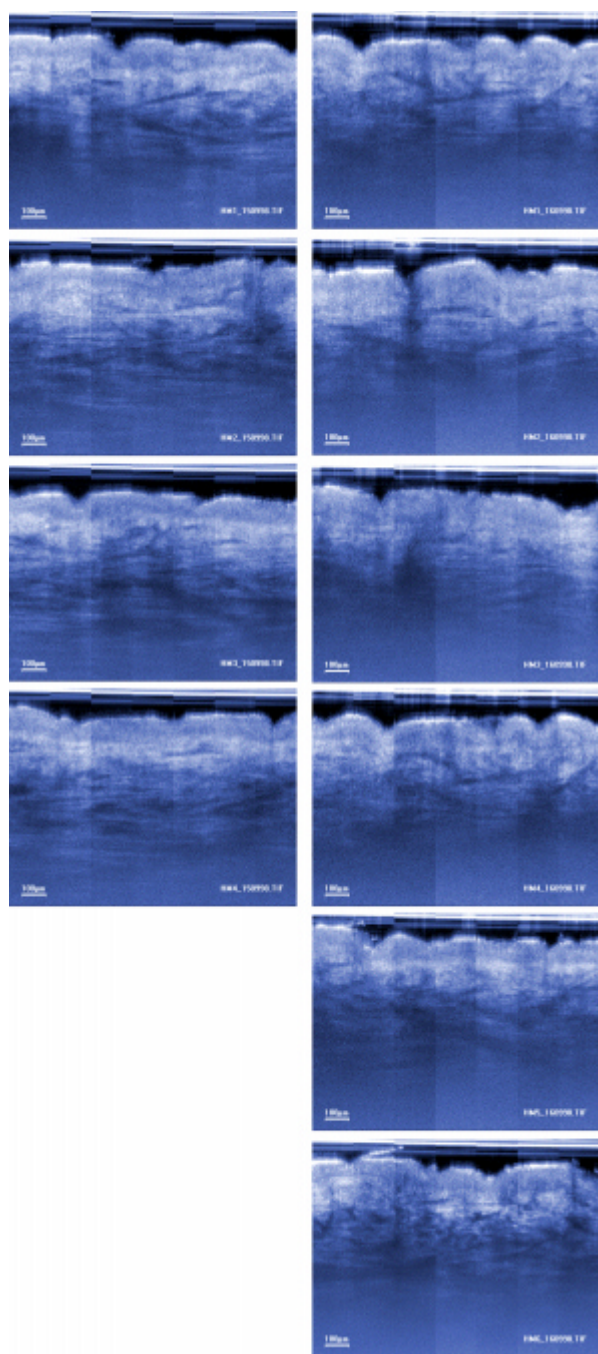
### A4 Verwendete Meßgeräte und Kurzbezeichnungen

Meßgerät	DMS Geräte Code
Faseroptisches Spektrometer, <i>Roche Diagnostics GmbH</i>	P
NIT 1.36 Optischer Sensor mit 4 Wellenlängen, 6 Abständen, <i>Roche Diagnostics GmbH</i>	K
NIT 1.37 Optischer Sensor mit 4 Wellenlängen, 12 Abständen, <i>Roche Diagnostics GmbH</i>	W
NIT 1.37 Optischer Sensor mit 4 Wellenlängen, 11 Abständen, <i>Roche Diagnostics GmbH</i> ; 5.0 mm Detektor defekt	E

### A5 Namensschema Ergebnisse *AlgoBatch*

Algorithmus	Vorverarbeitung	Parameter
AlgoN3 Simplex-Optimierung mit Startwertschätzung und variabler Skalierung	Hist0000 keine Vorverarbeitung der Daten	mua Absorptionskoeffizient
AlgoN4 Simplex-Optimierung mit festem Startwert und variabler Skalierung		mus Streukoeffizient
AlgoN5 Simplex-Optimierung mit festem Startwert und initialer Schätzung der Skalierung		VK Variationskoeffizient
		scale Skalierungsfaktor

## A6 Vergleich der Hautstruktur mittels OCT nach 24stündiger Okklusion



## A7 Ergebnisse OLS $\mu'_s$ , Drift, Temperatur

OLS		SEC	SEP	EGA [%]					Wiederfindungsfunktion				
Sensor	Experiment	[mg/dl]	[mg/dl]	A	B	C	D	E	$b_0$	$\pm \Delta b_0$	$b_1$	$\pm \Delta b_1$	r
Mark II	D2207_L8	54.51	51.58	50	47	0	3	0	0.49	$\pm 12.52$	0.98	$\pm 0.06$	0.80
Mark II	D2207_R8	55.03	54.95	36	61	0	3	0	1.35	$\pm 13.69$	0.99	$\pm 0.06$	0.77
Mark II	D2307_L8	64.13	60.46	28	64	0	8	0	1.13	$\pm 16.45$	1.00	$\pm 0.10$	0.64
Mark II	D2307_R8	42.21	39.63	47	52	1	0	0	4.25	$\pm 8.05$	0.99	$\pm 0.05$	0.87
Mark II	D2407_L8	81.80	82.31	12	77	9	2	0	26.97	$\pm 79.18$	0.87	$\pm 0.39$	0.20
Mark II	D2407_R8	48.18	47.54	46	54	0	0	0	-2.61	$\pm 13.42$	0.99	$\pm 0.06$	0.82
Mark II	D2507_L8	58.26	54.21	41	53	1	4	0	7.55	$\pm 12.88$	0.92	$\pm 0.06^*$	0.77
Mark II	D2507_R8	64.70	66.74	23	71	1	4	0	2.38	$\pm 19.87$	0.99	$\pm 0.10$	0.63
Mark II	D2607_L8	50.79	49.48	40	58	0	1	0	-7.52	$\pm 10.85$	1.08	$\pm 0.05^*$	0.84
Mark II	D2607_R8	48.83	51.63	28	72	0	0	0	5.47	$\pm 10.84$	0.97	$\pm 0.05$	0.82
Mark II	D2707_L8	66.52	60.71	36	58	4	2	0	14.16	$\pm 18.23$	0.90	$\pm 0.09^*$	0.67
Mark II	D2707_R8	70.95	71.03	21	72	7	0	0	-6.90	$\pm 28.25$	1.00	$\pm 0.14$	0.54
Mark II	G3007_L8	64.41	61.52	43	46	5	7	0	4.58	$\pm 12.26$	0.98	$\pm 0.06$	0.79
Mark II	G3007_R8	59.49	61.26	51	39	10	0	0	3.09	$\pm 12.18$	0.98	$\pm 0.06$	0.79
Mark II	G3107_L8	75.56	73.46	42	45	8	5	0	5.71	$\pm 17.46$	0.97	$\pm 0.08$	0.72
Mark II	G3107_R8	63.87	64.28	47	46	4	4	0	6.93	$\pm 14.30$	1.00	$\pm 0.06$	0.79
Mark II	H0107_L8	77.31	83.77	31	55	2	13	0	16.25	$\pm 22.71$	0.95	$\pm 0.11$	0.63
Mark II	H0107_R8	80.05	74.32	38	46	4	12	0	-4.53	$\pm 20.05$	1.01	$\pm 0.09$	0.71
Mark II	H0207_L8	83.11	84.35	14	70	8	8	0	12.86	$\pm 24.72$	0.95	$\pm 0.13$	0.50
Mark II	H0207_R8	81.58	81.04	17	72	4	7	0	-8.32	$\pm 23.79$	1.07	$\pm 0.12$	0.56
Mark II	H0607_L8	46.09	44.28	52	48	0	0	0	-0.80	$\pm 9.90$	1.00	$\pm 0.04$	0.89
Mark II	H0607_R8	38.18	36.04	65	35	0	0	0	4.39	$\pm 7.68$	0.98	$\pm 0.03$	0.93
Mark II	H0805_L8	60.33	59.39	35	61	3	2	0	7.82	$\pm 12.83$	0.95	$\pm 0.07$	0.77
Mark II	H0805_R8	62.37	63.54	31	64	3	2	0	20.68	$\pm 13.42^*$	0.91	$\pm 0.07^*$	0.74
Mark II	H0905_L8	76.57	77.89	32	57	7	4	0	-8.63	$\pm 23.23$	1.04	$\pm 0.11$	0.66
Mark II	H0905_R8	75.00	78.05	29	61	11	0	0	7.88	$\pm 18.48$	0.97	$\pm 0.09$	0.66
NIT 1.37e	E8C0201A	21.67	22.34	81	19	0	0	0	0.56	$\pm 13.34$	1.01	$\pm 0.06$	0.96
NIT 1.37e	E8C0203A	34.71	33.62	48	52	0	0	0	-9.40	$\pm 21.22$	1.06	$\pm 0.10$	0.91
NIT 1.37e	E8C0301A	21.37	22.89	84	16	0	0	0	-1.07	$\pm 9.29$	1.02	$\pm 0.04$	0.94
NIT 1.37e	E8C0303A	34.05	37.68	75	24	0	0	0	-4.87	$\pm 16.16$	1.03	$\pm 0.08$	0.84
NIT 1.37e	E8C0401A	57.59	55.37	42	54	3	1	0	-0.35	$\pm 18.59$	1.04	$\pm 0.09$	0.83
NIT 1.37e	E8C0403A	75.24	66.26	26	69	5	0	0	-22.73	$\pm 26.14$	1.11	$\pm 0.14$	0.73
NIT 1.37e	E8C0501A	40.19	36.90	66	33	1	0	0	-7.76	$\pm 8.38$	1.03	$\pm 0.04$	0.93
NIT 1.37e	E8C0503A	65.78	74.40	33	53	10	4	0	21.26	$\pm 20.21^*$	0.89	$\pm 0.09^*$	0.65
NIT 1.37e	E8C0601A	46.47	43.90	51	45	0	5	0	-10.28	$\pm 14.39$	1.03	$\pm 0.07$	0.89
NIT 1.37e	E8C0603A	26.62	28.14	56	43	0	1	0	6.40	$\pm 8.08$	0.96	$\pm 0.04$	0.96
NIT 1.36	K6H0560A	-	-	-	-	-	-	-	-	-	-	-	-
NIT 1.36	K6H0607A	-	-	-	-	-	-	-	-	-	-	-	-
NIT 1.36	K6H0654A	-	-	-	-	-	-	-	-	-	-	-	-
NIT 1.36	K6H0655A	-	-	-	-	-	-	-	-	-	-	-	-
NIT 1.36	K6H0660A	-	-	-	-	-	-	-	-	-	-	-	-
NIT 1.36	K6H0754A	-	-	-	-	-	-	-	-	-	-	-	-
NIT 1.36	K6H0954A	-	-	-	-	-	-	-	-	-	-	-	-
NIT 1.36	K6I1654A	-	-	-	-	-	-	-	-	-	-	-	-
NIT 1.36	K6I2018A	-	-	-	-	-	-	-	-	-	-	-	-
NIT 1.36	K6I2063A	-	-	-	-	-	-	-	-	-	-	-	-
NIT 1.36	K6I2065A	-	-	-	-	-	-	-	-	-	-	-	-
NIT 1.36	K6I2067A	-	-	-	-	-	-	-	-	-	-	-	-
NIT 1.36	K6K2507A	-	-	-	-	-	-	-	-	-	-	-	-
NIT 1.36	K6K2763A	-	-	-	-	-	-	-	-	-	-	-	-
NIT 1.36	K6K2963A	-	-	-	-	-	-	-	-	-	-	-	-
NIT 1.36	K6K2965A	-	-	-	-	-	-	-	-	-	-	-	-

OLS		SEC	SEP	EGA [%]					Wiederfindungsfunktion				
Sensor	Experiment	[mg/dl]	[mg/dl]	A	B	C	D	E	$b_0$	$\pm \Delta b_0$	$b_1$	$\pm \Delta b_1$	r
NIT 1.37	W8H1739A	59.76	57.77	35	60	0	5	0	5.98	$\pm 32.91$	0.98	$\pm 0.18$	0.57
NIT 1.37	W8H1745A	38.48	33.04	35	60	0	5	0	-1.24	$\pm 13.05$	1.02	$\pm 0.07$	0.88
NIT 1.37	W8H1805A	12.37	12.52	35	60	0	5	0	-0.35	$\pm 4.26$	1.00	$\pm 0.03$	0.98
NIT 1.37	W8H1809A	20.70	22.38	35	60	0	5	0	0.78	$\pm 8.02$	0.99	$\pm 0.05$	0.92
NIT 1.37	W8H1939A	21.92	21.79	35	60	0	5	0	-0.97	$\pm 6.59$	1.02	$\pm 0.04$	0.95
NIT 1.37	W8H1945A	37.01	32.66	35	60	0	5	0	3.23	$\pm 9.92$	0.97	$\pm 0.06$	0.89
NIT 1.37	W8H2005A	23.69	24.82	35	60	0	5	0	10.38	$\pm 26.96$	0.94	$\pm 0.17$	0.54
NIT 1.37	W8H2009A	19.67	20.26	35	60	0	5	0	-1.51	$\pm 17.72$	1.02	$\pm 0.11$	0.73
NIT 1.37	W8H2105A	17.60	17.70	35	60	0	5	0	-3.87	$\pm 7.45$	1.01	$\pm 0.04$	0.95
NIT 1.37	W8H2109A	16.35	17.04	35	60	0	5	0	0.46	$\pm 6.80$	0.99	$\pm 0.03$	0.96
NIT 1.37	W8J1905A	28.61	27.59	78	22	0	0	0	-9.25	$\pm 20.24$	1.03	$\pm 0.08$	0.84
NIT 1.37	W8J1906A	17.70	15.86	98	2	0	0	0	11.15	$\pm 10.79$	0.95	$\pm 0.04^*$	0.93
NIT 1.37	W8J1909A	24.95	26.56	86	14	0	0	0	-3.10	$\pm 17.48$	1.02	$\pm 0.07$	0.87
NIT 1.37	W8J1910A	23.38	24.99	85	15	0	0	0	1.86	$\pm 19.75$	1.01	$\pm 0.08$	0.83
NIT 1.37	W8J1936A	42.23	42.13	70	30	0	0	0	31.53	$\pm 33.86$	0.91	$\pm 0.11$	0.70
NIT 1.37	W8J1937A	23.30	21.93	96	4	0	0	0	-5.61	$\pm 13.91$	1.01	$\pm 0.04$	0.94
NIT 1.37	W8J2005A	13.43	12.68	97	3	0	0	0	0.83	$\pm 10.13$	1.00	$\pm 0.05$	0.94
NIT 1.37	W8J2009A	16.07	16.11	93	7	0	0	0	-5.49	$\pm 13.72$	1.02	$\pm 0.06$	0.89
NIT 1.37	W8J2036A	26.72	26.29	81	19	0	0	0	1.30	$\pm 26.07$	0.99	$\pm 0.13$	0.68
NIT 1.37	W8J2037A	14.54	14.16	98	2	0	0	0	-1.23	$\pm 10.53$	1.01	$\pm 0.05$	0.92
NIT 1.37	W8J2105A	21.65	22.34	89	11	0	0	0	-19.68	$\pm 16.63^*$	1.05	$\pm 0.05$	0.92
NIT 1.37	W8J2109A	21.47	22.60	91	9	0	0	0	-6.82	$\pm 16.99$	1.02	$\pm 0.06$	0.91
NIT 1.37	W8J2136A	22.12	22.11	81	19	0	0	0	-0.14	$\pm 14.48$	1.00	$\pm 0.07$	0.87
NIT 1.37	W8J2137A	16.98	15.67	93	7	0	0	0	1.14	$\pm 9.48$	0.99	$\pm 0.04$	0.94
NIT 1.37	W8J2205A	21.07	22.24	93	7	0	0	0	4.25	$\pm 14.39$	0.99	$\pm 0.05$	0.92
NIT 1.37	W8J2206A	40.60	40.79	61	39	0	0	0	7.45	$\pm 38.16$	0.97	$\pm 0.15$	0.63
NIT 1.37	W8J2209A	26.88	24.69	91	9	0	0	0	-0.80	$\pm 16.44$	1.00	$\pm 0.06$	0.90
NIT 1.37	W8J2210A	27.22	27.00	83	17	0	0	0	-4.03	$\pm 19.34$	1.04	$\pm 0.08$	0.86
NIT 1.37	W8J2236A	28.99	27.58	79	21	0	0	0	-31.61	$\pm 37.20$	1.14	$\pm 0.15$	0.65
NIT 1.37	W8J2237A	28.89	27.87	83	17	0	0	0	-15.08	$\pm 35.06$	1.06	$\pm 0.14$	0.64
NIT 1.37	W8J2305A	18.94	18.22	89	11	0	0	0	2.64	$\pm 12.47$	0.99	$\pm 0.05$	0.92
NIT 1.37	W8J2306A	14.51	13.67	100	0	0	0	0	-0.43	$\pm 9.29$	1.01	$\pm 0.03$	0.96
NIT 1.37	W8J2309A	18.46	19.36	94	6	0	0	0	-11.19	$\pm 14.08$	1.05	$\pm 0.06$	0.91
NIT 1.37	W8J2310A	12.76	12.68	100	0	0	0	0	-5.20	$\pm 8.44$	1.02	$\pm 0.03$	0.97
NIT 1.37	W8J2336A	31.26	31.99	77	23	0	0	0	21.21	$\pm 20.83$	0.91	$\pm 0.08^*$	0.81
NIT 1.37	W8J2337A	11.04	12.52	99	1	0	0	0	-1.37	$\pm 7.79$	1.00	$\pm 0.03$	0.97
NIT 1.37	W8K1605A	15.60	15.57	75	25	0	0	0	1.89	$\pm 5.16$	0.99	$\pm 0.03$	0.98
NIT 1.37	W8K1606A	27.49	27.42	58	42	0	0	0	19.01	$\pm 16.71^*$	0.89	$\pm 0.09^*$	0.88
NIT 1.37	W8K1609A	43.83	43.80	40	60	0	0	0	3.28	$\pm 16.36$	0.98	$\pm 0.08$	0.87
NIT 1.37	W8K1610A	14.92	14.13	90	10	0	0	0	-0.85	$\pm 6.21$	1.00	$\pm 0.03$	0.97
NIT 1.37	W8K1705A	19.27	18.07	78	22	0	0	0	-1.60	$\pm 11.31$	1.01	$\pm 0.07$	0.88
NIT 1.37	W8K1709A	5.24	5.26	99	1	0	0	0	0.63	$\pm 2.84$	0.99	$\pm 0.02$	0.99
NIT 1.37	W8K1736A	19.04	25.30	80	20	1	0	0	10.48	$\pm 11.52$	0.92	$\pm 0.05^*$	0.93
NIT 1.37	W8K1737A	24.26	23.03	78	22	0	0	0	-15.85	$\pm 12.21^*$	1.07	$\pm 0.06^*$	0.94
NIT 1.37	W8K1836A	50.89	44.08	52	43	5	0	0	-10.66	$\pm 17.59$	1.07	$\pm 0.10$	0.83
NIT 1.37	W8K1837A	43.00	41.83	60	36	5	0	0	-13.35	$\pm 15.90$	1.03	$\pm 0.09$	0.85
NIT 1.37	W8K1936A	66.14	69.46	21	60	3	16	0	14.43	$\pm 36.15$	1.00	$\pm 0.20$	0.54
NIT 1.37	W8K1937A	60.58	63.14	27	57	3	13	0	-0.87	$\pm 30.91$	1.00	$\pm 0.16$	0.62
NIT 1.37	W8K2005A	38.88	34.73	67	32	0	2	0	-12.99	$\pm 19.20$	1.05	$\pm 0.09$	0.83
NIT 1.37	W8K2009A	41.94	42.98	60	40	0	0	0	14.69	$\pm 25.29$	0.92	$\pm 0.12$	0.70
NIT 1.37	W8K2036A	48.46	48.27	30	65	2	2	0	13.12	$\pm 21.05$	0.94	$\pm 0.12$	0.74
NIT 1.37	W8K2037A	32.21	32.25	63	38	0	0	0	6.83	$\pm 12.28$	0.95	$\pm 0.06$	0.90

## A8 Ergebnisse OLS $\mu_s'$ , Drift, Temperatur mit drei Kalibrierungspunkten

OLS 3P		SEC	SEP	EGA [%]					Wiederfindungsfunktion				
Sensor	Experiment	[mg/dl]	[mg/dl]	A	B	C	D	E	$b_0$	$\pm \Delta b_0$	$b_1$	$\pm \Delta b_1$	r
Mark II	D2207_L8	6.70	74.45	37	52	0	11	0	75.08	$\pm 8.01^*$	0.78	$\pm 0.04^*$	0.70
Mark II	D2207_R8	5.94	98.56	35	39	6	16	3	124.58	$\pm 6.02^*$	0.56	$\pm 0.03^*$	0.67
Mark II	D2307_L8	67.85	309.95	17	51	29	2	0	143.80	$\pm 6.13^*$	0.04	$\pm 0.02^*$	0.15
Mark II	D2307_R8	39.96	436.93	14	49	29	5	3	151.11	$\pm 4.82^*$	0.04	$\pm 0.01^*$	0.19
Mark II	D2407_L8	30.17	143.42	27	37	25	11	0	218.02	$\pm 14.56^*$	-0.07	$\pm 0.05^*$	0.08
Mark II	D2407_R8	15.23	73.27	50	46	1	3	0	97.36	$\pm 6.23^*$	0.61	$\pm 0.03^*$	0.79
Mark II	D2507_L8	7.28	85.16	33	54	9	4	0	90.04	$\pm 8.53^*$	0.50	$\pm 0.04^*$	0.61
Mark II	D2507_R8	9.02	101.12	34	51	10	4	0	113.50	$\pm 8.16^*$	0.39	$\pm 0.04^*$	0.53
Mark II	D2607_L8	29.97	71.72	34	58	8	1	0	77.68	$\pm 6.23^*$	0.65	$\pm 0.03^*$	0.76
Mark II	D2607_R8	33.90	142.24	36	46	17	1	0	150.25	$\pm 9.75^*$	0.16	$\pm 0.04^*$	0.24
Mark II	D2707_L8	49.79	775.22	6	61	31	1	2	192.88	$\pm 5.19^*$	-0.04	$\pm 0.01^*$	0.36
Mark II	D2707_R8	45.01	605.61	4	63	32	0	1	181.68	$\pm 5.25^*$	-0.05	$\pm 0.01^*$	0.32
Mark II	G3007_L8	5.38	121.20	12	50	14	24	0	232.48	$\pm 19.00^*$	-0.26	$\pm 0.12^*$	0.12
Mark II	G3007_R8	5.47	111.91	15	47	14	24	0	171.72	$\pm 20.52^*$	0.12	$\pm 0.12^*$	0.05
Mark II	G3107_L8	11.65	79.30	36	49	14	1	0	-12.67	$\pm 14.83$	0.97	$\pm 0.06$	0.69
Mark II	G3107_R8	11.44	71.26	41	46	9	4	0	31.60	$\pm 10.42^*$	0.86	$\pm 0.04^*$	0.75
Mark II	H0107_L8	13.11	99.54	35	51	1	3	10	95.89	$\pm 12.13^*$	0.61	$\pm 0.06^*$	0.56
Mark II	H0107_R8	12.36	139.36	21	55	6	11	7	169.23	$\pm 12.42^*$	0.24	$\pm 0.07^*$	0.22
Mark II	H0207_L8	8.56	377.17	16	28	52	5	0	208.89	$\pm 9.10^*$	-0.06	$\pm 0.02^*$	0.17
Mark II	H0207_R8	9.39	376.60	16	28	52	5	0	210.16	$\pm 9.08^*$	-0.06	$\pm 0.02^*$	0.18
Mark II	H0607_L8	7.97	47.27	52	48	0	0	0	17.48	$\pm 6.97^*$	0.94	$\pm 0.03^*$	0.87
Mark II	H0607_R8	11.51	39.32	54	46	0	0	0	-13.51	$\pm 6.38^*$	1.05	$\pm 0.03^*$	0.91
Mark II	H0805_L8	30.16	110.04	23	67	8	2	0	105.34	$\pm 5.68^*$	0.44	$\pm 0.02^*$	0.74
Mark II	H0805_R8	28.81	204.51	20	59	12	7	3	159.23	$\pm 5.08^*$	0.24	$\pm 0.02^*$	0.57
Mark II	H0905_L8	12.07	122.28	24	54	12	7	3	138.77	$\pm 10.29^*$	0.39	$\pm 0.05^*$	0.47
Mark II	H0905_R8	17.38	291.94	22	59	12	4	2	180.02	$\pm 5.29^*$	0.17	$\pm 0.02^*$	0.51
NIT 1.37e	E8C0201A	15.51	23.99	74	26	0	0	0	5.87	$\pm 9.52$	1.01	$\pm 0.05$	0.96
NIT 1.37e	E8C0203A	16.04	54.31	53	47	0	0	0	-47.18	$\pm 34.90^*$	1.22	$\pm 0.17^*$	0.76
NIT 1.37e	E8C0301A	8.32	24.37	67	33	0	0	0	-23.45	$\pm 7.15^*$	1.08	$\pm 0.03^*$	0.94
NIT 1.37e	E8C0303A	6.88	36.45	76	23	0	0	0	16.06	$\pm 10.32^*$	0.89	$\pm 0.05^*$	0.84
NIT 1.37e	E8C0401A	9.97	62.49	55	39	5	0	0	2.56	$\pm 15.46$	0.94	$\pm 0.07$	0.77
NIT 1.37e	E8C0403A	149.53	105.82	12	58	10	15	5	116.02	$\pm 14.68^*$	0.46	$\pm 0.08^*$	0.48
NIT 1.37e	E8C0501A	6.10	41.43	63	34	2	0	0	-10.34	$\pm 6.86^*$	1.07	$\pm 0.03^*$	0.91
NIT 1.37e	E8C0503A	21.25	313.82	10	32	49	7	1	183.76	$\pm 8.77^*$	0.09	$\pm 0.02^*$	0.26
NIT 1.37e	E8C0601A	9.33	48.31	46	48	0	5	0	5.02	$\pm 11.20$	0.97	$\pm 0.05$	0.86
NIT 1.37e	E8C0603A	4.96	36.32	56	43	0	1	0	-21.92	$\pm 8.59^*$	1.12	$\pm 0.04^*$	0.93
NIT 1.36	K6H0560A	-	-	-	-	-	-	-	-	-	-	-	-
NIT 1.36	K6H0607A	-	-	-	-	-	-	-	-	-	-	-	-
NIT 1.36	K6H0654A	-	-	-	-	-	-	-	-	-	-	-	-
NIT 1.36	K6H0655A	-	-	-	-	-	-	-	-	-	-	-	-
NIT 1.36	K6H0660A	-	-	-	-	-	-	-	-	-	-	-	-
NIT 1.36	K6H0754A	-	-	-	-	-	-	-	-	-	-	-	-
NIT 1.36	K6H0954A	-	-	-	-	-	-	-	-	-	-	-	-
NIT 1.36	K6I1654A	-	-	-	-	-	-	-	-	-	-	-	-
NIT 1.36	K6I2018A	-	-	-	-	-	-	-	-	-	-	-	-
NIT 1.36	K6I2063A	-	-	-	-	-	-	-	-	-	-	-	-
NIT 1.36	K6I2065A	-	-	-	-	-	-	-	-	-	-	-	-
NIT 1.36	K6I2067A	-	-	-	-	-	-	-	-	-	-	-	-
NIT 1.36	K6K2507A	-	-	-	-	-	-	-	-	-	-	-	-
NIT 1.36	K6K2763A	-	-	-	-	-	-	-	-	-	-	-	-
NIT 1.36	K6K2963A	-	-	-	-	-	-	-	-	-	-	-	-
NIT 1.36	K6K2965A	-	-	-	-	-	-	-	-	-	-	-	-

OLS 3P		SEC	SEP	EGA [%]					Wiederfindungsfunktion				
Sensor	Experiment	[mg/dl]	[mg/dl]	A	B	C	D	E	$b_0$	$\pm \Delta b_0$	$b_1$	$\pm \Delta b_1$	r
NIT 1.37	W8H1739A	72.74	106.93	14	69	7	4	6	132.65	$\pm 8.82^*$	0.31	$\pm 0.05^*$	0.50
NIT 1.37	W8H1745A	107.94	62.07	40	55	0	4	2	79.17	$\pm 8.75^*$	0.67	$\pm 0.05^*$	0.76
NIT 1.37	W8H1805A	1.84	71.59	63	12	20	0	6	43.49	$\pm 15.66^*$	0.52	$\pm 0.08^*$	0.50
NIT 1.37	W8H1809A	3.80	52.85	67	21	6	5	1	0.26	$\pm 14.52$	0.82	$\pm 0.08^*$	0.67
NIT 1.37	W8H1939A	6.97	50.71	56	35	9	0	0	28.56	$\pm 8.01^*$	0.72	$\pm 0.04^*$	0.82
NIT 1.37	W8H1945A	17.01	54.92	34	55	2	8	1	43.62	$\pm 8.85^*$	0.66	$\pm 0.05^*$	0.76
NIT 1.37	W8H2005A	3.62	39.98	65	35	0	0	0	52.55	$\pm 15.78^*$	0.64	$\pm 0.09^*$	0.55
NIT 1.37	W8H2009A	3.83	31.39	65	35	0	0	0	48.76	$\pm 17.40^*$	0.62	$\pm 0.10^*$	0.46
NIT 1.37	W8H2105A	5.59	218.43	29	60	0	0	11	213.04	$\pm 3.40^*$	-0.37	$\pm 0.02^*$	0.80
NIT 1.37	W8H2109A	4.93	27.20	78	22	0	0	0	49.94	$\pm 4.18^*$	0.79	$\pm 0.02^*$	0.95
NIT 1.37	W8J1905A	12.32	100.64	54	21	0	13	12	193.63	$\pm 9.85^*$	0.29	$\pm 0.08$	0.45
NIT 1.37	W8J1906A	13.13	22.05	88	12	0	0	0	21.44	$\pm 11.08^*$	0.91	$\pm 0.04^*$	0.87
NIT 1.37	W8J1909A	9.16	39.99	73	22	0	5	0	78.20	$\pm 10.99^*$	0.74	$\pm 0.07$	0.81
NIT 1.37	W8J1910A	6.48	37.99	77	21	2	0	0	77.65	$\pm 15.70^*$	0.64	$\pm 0.08$	0.67
NIT 1.37	W8J1936A	10.23	76.67	43	33	23	0	0	139.88	$\pm 30.12^*$	0.48	$\pm 0.11$	0.43
NIT 1.37	W8J1937A	6.95	95.28	43	31	27	0	0	151.45	$\pm 25.99^*$	0.42	$\pm 0.04$	0.46
NIT 1.37	W8J2005A	5.46	31.67	68	32	0	0	0	56.35	$\pm 12.32^*$	0.68	$\pm 0.05$	0.76
NIT 1.37	W8J2009A	19.90	20.94	88	12	0	0	0	29.73	$\pm 10.18^*$	0.90	$\pm 0.06$	0.85
NIT 1.37	W8J2036A	3.73	30.28	83	17	0	0	0	-8.63	$\pm 21.90$	0.98	$\pm 0.13$	0.64
NIT 1.37	W8J2037A	3.79	42.48	61	38	1	0	0	-6.77	$\pm 32.55$	0.91	$\pm 0.05$	0.49
NIT 1.37	W8J2105A	6.36	28.26	80	20	0	0	0	20.89	$\pm 15.30^*$	0.94	$\pm 0.05$	0.85
NIT 1.37	W8J2109A	5.97	25.12	85	15	0	0	0	-6.77	$\pm 14.66$	1.02	$\pm 0.06$	0.88
NIT 1.37	W8J2136A	3.14	33.87	64	36	0	0	0	1.53	$\pm 11.06$	0.89	$\pm 0.07$	0.85
NIT 1.37	W8J2137A	1.68	34.96	59	41	0	0	0	-49.39	$\pm 12.19^*$	1.10	$\pm 0.04$	0.87
NIT 1.37	W8J2205A	4.36	37.82	67	33	0	0	0	64.36	$\pm 14.80^*$	0.76	$\pm 0.05$	0.79
NIT 1.37	W8J2206A	7.73	66.95	56	26	18	0	0	147.94	$\pm 31.28^*$	0.36	$\pm 0.15$	0.29
NIT 1.37	W8J2209A	4.71	63.65	49	45	6	0	0	151.00	$\pm 9.44^*$	0.45	$\pm 0.06$	0.78
NIT 1.37	W8J2210A	10.31	54.16	58	37	5	0	0	82.25	$\pm 30.68^*$	0.62	$\pm 0.08$	0.45
NIT 1.37	W8J2236A	6.02	37.40	68	32	0	0	0	76.80	$\pm 20.90^*$	0.63	$\pm 0.15$	0.55
NIT 1.37	W8J2237A	18.04	57.32	57	37	6	0	0	228.20	$\pm 22.27^*$	0.06	$\pm 0.14$	0.06
NIT 1.37	W8J2305A	3.20	31.15	82	18	0	0	0	89.76	$\pm 5.96^*$	0.62	$\pm 0.05$	0.91
NIT 1.37	W8J2306A	5.68	17.66	98	2	0	0	0	25.30	$\pm 6.78^*$	0.94	$\pm 0.03$	0.96
NIT 1.37	W8J2309A	3.53	24.48	79	21	0	0	0	47.71	$\pm 9.74^*$	0.79	$\pm 0.06$	0.86
NIT 1.37	W8J2310A	5.90	16.48	99	1	0	0	0	-5.82	$\pm 8.02$	1.04	$\pm 0.03$	0.95
NIT 1.37	W8J2336A	27.17	38.85	67	33	0	0	0	-24.04	$\pm 20.80^*$	1.19	$\pm 0.08^*$	0.78
NIT 1.37	W8J2337A	5.81	16.24	99	1	0	0	0	2.87	$\pm 7.59$	1.00	$\pm 0.03$	0.95
NIT 1.37	W8K1605A	7.26	23.92	69	31	0	0	0	34.24	$\pm 3.34^*$	0.85	$\pm 0.03$	0.98
NIT 1.37	W8K1606A	5.81	46.59	67	32	2	0	0	-133.78	$\pm 27.69^*$	1.59	$\pm 0.09^*$	0.74
NIT 1.37	W8K1609A	10.66	92.79	21	68	7	2	2	107.81	$\pm 8.16^*$	0.54	$\pm 0.08$	0.79
NIT 1.37	W8K1610A	3.04	30.47	73	27	0	0	0	-113.95	$\pm 10.34^*$	1.53	$\pm 0.03$	0.94
NIT 1.37	W8K1705A	11.86	110.27	19	57	22	0	1	141.79	$\pm 4.36^*$	0.15	$\pm 0.07$	0.46
NIT 1.37	W8K1709A	3.00	18.46	83	17	0	0	0	39.35	$\pm 4.46^*$	0.79	$\pm 0.02$	0.93
NIT 1.37	W8K1736A	43.39	75.99	31	55	1	12	0	121.85	$\pm 10.78^*$	0.43	$\pm 0.05^*$	0.67
NIT 1.37	W8K1737A	8.42	44.73	64	36	0	0	0	69.12	$\pm 9.93^*$	0.67	$\pm 0.06^*$	0.84
NIT 1.37	W8K1836A	3.33	60.15	57	34	8	0	0	4.25	$\pm 14.29$	0.82	$\pm 0.10$	0.76
NIT 1.37	W8K1837A	4.72	61.35	62	29	9	0	0	22.14	$\pm 13.93^*$	0.75	$\pm 0.09$	0.74
NIT 1.37	W8K1936A	10.93	130.00	30	42	26	2	0	112.69	$\pm 15.67^*$	0.28	$\pm 0.20$	0.41
NIT 1.37	W8K1937A	18.63	170.31	37	42	18	3	0	155.68	$\pm 14.02^*$	0.10	$\pm 0.16$	0.19
NIT 1.37	W8K2005A	6.63	53.03	36	62	0	1	0	84.39	$\pm 12.00^*$	0.59	$\pm 2.06$	0.69
NIT 1.37	W8K2009A	3.01	65.81	50	37	14	0	0	71.94	$\pm 19.32^*$	0.56	$\pm 0.12$	0.54
NIT 1.37	W8K2036A	29.99	100.73	29	52	17	0	2	119.41	$\pm 17.54^*$	0.26	$\pm 0.12$	0.32
NIT 1.37	W8K2037A	10.27	73.82	46	38	17	0	0	61.52	$\pm 11.84^*$	0.54	$\pm 0.06$	0.72

## A9 Ergebnisse PCR-Intensitäts-Modelle

PCR-I		SEC	SEP	EGA [%]					Wiederfindungsfunktion				
Sensor	Experiment	[mg/dl]	[mg/dl]	A	B	C	D	E	$b_0$	$\pm \Delta b_0$	$b_1$	$\pm \Delta b_1$	r
Mark II	P6D2207a_L	43.65	40.28	58	40	0	2	0	0.64	$\pm$ 8.92	1.00	$\pm$ 0.04	0.88
Mark II	P6D2207a_R	38.12	38.43	58	38	0	4	0	-1.91	$\pm$ 8.34	0.98	$\pm$ 0.04	0.90
Mark II	P6D2307a_L	26.74	27.05	56	44	0	0	0	1.81	$\pm$ 5.25	0.98	$\pm$ 0.03	0.94
Mark II	P6D2307a_R	30.35	32.46	53	46	0	2	0	-1.58	$\pm$ 6.51	1.02	$\pm$ 0.04	0.91
Mark II	P6D2407a_L	42.50	42.25	58	41	0	0	0	2.94	$\pm$ 11.23	0.99	$\pm$ 0.05	0.86
Mark II	P6D2407a_R	34.49	36.04	56	43	0	1	0	5.56	$\pm$ 9.01	0.96	$\pm$ 0.04	0.90
Mark II	P6D2507a_L	46.30	41.61	46	52	0	2	0	-2.23	$\pm$ 9.27	0.98	$\pm$ 0.05	0.87
Mark II	P6D2507a_R	52.94	54.30	37	59	3	1	0	2.94	$\pm$ 13.38	0.99	$\pm$ 0.07	0.78
Mark II	P6D2607a_L	40.19	39.57	44	55	0	0	0	-10.83	$\pm$ 8.20*	1.09	$\pm$ 0.04*	0.91
Mark II	P6D2607a_R	37.97	37.91	51	48	0	0	0	-6.83	$\pm$ 7.70	1.03	$\pm$ 0.04	0.91
Mark II	P6D2707a_L	66.76	62.34	27	70	1	1	0	24.94	$\pm$ 17.97*	0.86	$\pm$ 0.09*	0.65
Mark II	P6D2707a_R	56.88	54.65	34	63	0	3	0	-15.42	$\pm$ 16.15	1.05	$\pm$ 0.08	0.76
Mark II	P6G3007a_L	44.58	45.24	48	51	0	0	0	10.49	$\pm$ 7.85*	0.95	$\pm$ 0.04*	0.89
Mark II	P6G3007a_R	40.84	44.40	55	44	1	0	0	-4.18	$\pm$ 8.20	1.02	$\pm$ 0.04	0.90
Mark II	P6G3107a_L	47.02	46.17	48	51	1	0	0	-5.77	$\pm$ 9.46	1.02	$\pm$ 0.04	0.90
Mark II	P6G3107a_R	41.70	43.62	53	47	0	0	0	-1.09	$\pm$ 8.96	1.01	$\pm$ 0.04	0.91
Mark II	P6H0107a_L	65.90	72.13	37	57	0	6	0	7.98	$\pm$ 17.58	0.99	$\pm$ 0.08	0.75
Mark II	P6H0107a_R	70.73	65.40	33	58	1	7	0	-1.25	$\pm$ 15.91	1.00	$\pm$ 0.07	0.79
Mark II	P6H0207a_L	66.13	67.00	32	60	4	4	0	3.50	$\pm$ 14.59	0.98	$\pm$ 0.07	0.72
Mark II	P6H0207a_R	57.59	57.11	39	57	1	3	0	5.66	$\pm$ 11.09	1.01	$\pm$ 0.06	0.82
Mark II	P6H0605a_L	31.66	29.90	73	27	0	0	0	-2.78	$\pm$ 6.31	1.00	$\pm$ 0.03	0.95
Mark II	P6H0605a_R	31.06	29.85	69	31	0	0	0	6.06	$\pm$ 6.15	0.97	$\pm$ 0.03*	0.95
Mark II	P6H0805a_L	48.13	42.66	44	56	0	1	0	-0.49	$\pm$ 8.52	0.99	$\pm$ 0.04	0.89
Mark II	P6H0805a_R	48.31	49.90	41	58	0	1	0	18.75	$\pm$ 9.42*	0.92	$\pm$ 0.05*	0.85
Mark II	P6H0905a_L	56.47	59.20	40	58	1	1	0	2.03	$\pm$ 13.90	1.00	$\pm$ 0.06	0.82
Mark II	P6H0905a_R	46.55	46.07	53	46	0	0	0	2.56	$\pm$ 8.57	0.98	$\pm$ 0.04	0.90
NIT 1.37e	E8C0201a	21.45	20.54	82	18	0	0	0	-0.10	$\pm$ 12.10	1.01	$\pm$ 0.06	0.97
NIT 1.37e	E8C0203a	25.79	25.60	66	34	0	0	0	2.56	$\pm$ 14.67	0.99	$\pm$ 0.07	0.95
NIT 1.37e	E8C0301a	21.52	21.84	80	20	0	0	0	1.39	$\pm$ 8.68	1.00	$\pm$ 0.04	0.95
NIT 1.37e	E8C0303a	18.54	20.43	86	13	0	0	0	-1.25	$\pm$ 7.66	1.01	$\pm$ 0.04	0.96
NIT 1.37e	E8C0401a	31.68	31.51	69	30	0	0	0	8.89	$\pm$ 8.93	0.99	$\pm$ 0.04	0.95
NIT 1.37e	E8C0403a	30.32	30.04	65	35	0	0	0	-7.56	$\pm$ 8.76	1.05	$\pm$ 0.04*	0.95
NIT 1.37e	E8C0501a	39.00	35.20	69	29	1	1	0	-4.63	$\pm$ 7.85	1.02	$\pm$ 0.03	0.93
NIT 1.37e	E8C0503a	45.92	48.29	56	39	3	2	0	4.53	$\pm$ 10.97	0.97	$\pm$ 0.05	0.87
NIT 1.37e	E8C0601a	38.67	36.28	58	41	0	1	0	-7.10	$\pm$ 11.29	1.02	$\pm$ 0.06	0.93
NIT 1.37e	E8C0603a	26.27	27.15	67	32	0	1	0	5.69	$\pm$ 7.77	0.97	$\pm$ 0.04	0.96
NIT 1.36	K6H0560a	42.68	52.52	42	57	0	1	0	-18.73	$\pm$ 22.17	1.05	$\pm$ 0.10	0.85
NIT 1.36	K6H0607a	45.17	45.45	49	51	0	0	0	-30.22	$\pm$ 20.69*	1.11	$\pm$ 0.10*	0.89
NIT 1.36	K6H0654a	34.73	39.98	65	33	0	1	0	7.30	$\pm$ 16.03	0.95	$\pm$ 0.07	0.91
NIT 1.36	K6H0655a	34.34	37.24	66	33	0	1	0	-9.30	$\pm$ 15.32	1.03	$\pm$ 0.07	0.92
NIT 1.36	K6H0660a	45.65	43.52	41	58	0	1	0	11.43	$\pm$ 17.27	0.95	$\pm$ 0.08	0.89
NIT 1.36	K6H0754a	38.81	34.91	57	43	0	0	0	17.11	$\pm$ 11.74*	0.93	$\pm$ 0.06*	0.93
NIT 1.36	K6H0954a	45.99	44.47	43	55	1	0	0	-2.82	$\pm$ 17.62	1.02	$\pm$ 0.08	0.91
NIT 1.36	K6I1654a	31.32	31.92	58	41	0	1	0	-4.50	$\pm$ 14.61	1.01	$\pm$ 0.07	0.93
NIT 1.36	K6I2018a	40.47	45.05	100	0	0	0	0	1.08	$\pm$ 18.88	1.01	$\pm$ 0.09	0.91
NIT 1.36	K6I2063a	44.67	39.79	58	42	0	0	0	14.98	$\pm$ 15.27	0.97	$\pm$ 0.07	0.93
NIT 1.36	K6I2065a	44.40	67.37	47	53	0	1	0	11.94	$\pm$ 31.53	0.94	$\pm$ 0.14	0.78
NIT 1.36	K6I2067a	57.19	57.19	41	53	6	0	0	-1.38	$\pm$ 25.68	0.99	$\pm$ 0.12	0.84
NIT 1.36	K6K2507a	37.26	34.70	50	50	0	1	0	3.28	$\pm$ 11.72	0.98	$\pm$ 0.07	0.92
NIT 1.36	K6K2763a	25.61	28.89	63	37	0	0	0	5.46	$\pm$ 10.16	0.98	$\pm$ 0.06	0.94
NIT 1.36	K6K2963a	24.39	26.83	59	41	0	0	0	-0.51	$\pm$ 10.16	0.99	$\pm$ 0.06	0.94
NIT 1.36	K6K2965a	24.29	26.72	59	41	0	0	0	2.85	$\pm$ 9.85	0.99	$\pm$ 0.06	0.95

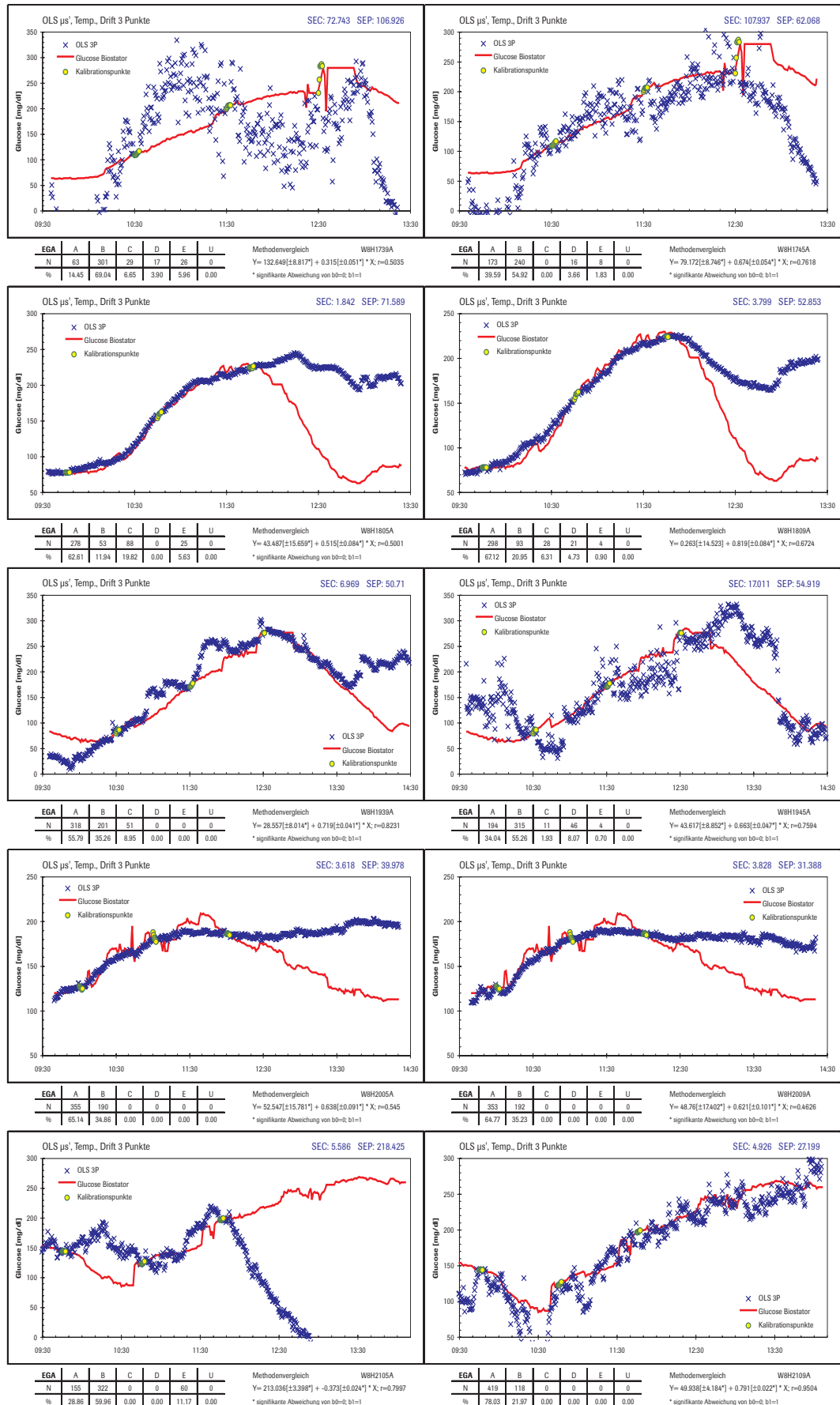
PCR-I		SEC	SEP	EGA [%]					Wiederfindungsfunktion				
Sensor	Experiment	[mg/dl]	[mg/dl]	A	B	C	D	E	$b_0$	$\pm \Delta b_0$	$b_1$	$\pm \Delta b_1$	r
NIT 1.37	W8H1739A	15.82	18.36	86	11	0	3	0	-1.91	$\pm$ 6.69	1.00	$\pm$ 0.04	0.97
NIT 1.37	W8H1745A	17.81	18.31	91	8	0	1	0	1.50	$\pm$ 6.50	0.98	$\pm$ 0.03	0.97
NIT 1.37	W8H1805A	8.14	7.82	97	3	0	0	0	-0.86	$\pm$ 2.62	1.01	$\pm$ 0.02	0.99
NIT 1.37	W8H1809A	8.65	7.74	97	3	0	0	0	1.33	$\pm$ 2.56	0.99	$\pm$ 0.02	0.99
NIT 1.37	W8H1939A	20.22	20.11	78	21	0	1	0	-1.47	$\pm$ 6.07	1.01	$\pm$ 0.03	0.96
NIT 1.37	W8H1945A	14.79	15.98	86	13	0	2	0	0.55	$\pm$ 4.52	1.01	$\pm$ 0.03	0.97
NIT 1.37	W8H2005A	7.45	7.70	100	0	0	0	0	-0.90	$\pm$ 5.04	1.01	$\pm$ 0.03	0.97
NIT 1.37	W8H2009A	9.44	8.87	98	2	0	0	0	-2.58	$\pm$ 5.97	1.02	$\pm$ 0.04	0.95
NIT 1.37	W8H2105A	10.16	9.88	95	5	0	0	0	-1.75	$\pm$ 3.98	1.00	$\pm$ 0.02	0.99
NIT 1.37	W8H2109A	17.11	18.08	84	16	0	0	0	1.10	$\pm$ 15.82	0.98	$\pm$ 0.04	0.95
NIT 1.37	W8J1905a	24.05	22.77	85	15	0	0	0	-0.98	$\pm$ 15.15	1.00	$\pm$ 0.06	0.90
NIT 1.37	W8J1906a	16.34	14.32	100	0	0	0	0	12.66	$\pm$ 9.49*	0.94	$\pm$ 0.04*	0.95
NIT 1.37	W8J1909a	17.93	19.14	93	7	0	0	0	-6.99	$\pm$ 11.78	1.04	$\pm$ 0.05	0.94
NIT 1.37	W8J1910a	14.54	15.41	98	2	0	0	0	-7.06	$\pm$ 11.22	1.04	$\pm$ 0.05	0.94
NIT 1.37	W8J1936a	14.23	15.45	99	1	0	0	0	10.16	$\pm$ 9.70	0.97	$\pm$ 0.03	0.97
NIT 1.37	W8J1937a	18.89	18.53	98	2	0	0	0	6.40	$\pm$ 11.12	0.97	$\pm$ 0.04	0.95
NIT 1.37	W8J2005a	13.62	12.78	97	3	0	0	0	0.91	$\pm$ 10.17	1.00	$\pm$ 0.05	0.94
NIT 1.37	W8J2009a	14.14	14.67	95	5	0	0	0	-3.87	$\pm$ 12.11	1.02	$\pm$ 0.06	0.91
NIT 1.37	W8J2036a	18.57	16.73	92	8	0	0	0	-7.35	$\pm$ 13.26	1.04	$\pm$ 0.07	0.89
NIT 1.37	W8J2037a	14.54	14.01	98	2	0	0	0	-1.48	$\pm$ 10.37	1.01	$\pm$ 0.05	0.93
NIT 1.37	W8J2105a	12.67	12.21	100	0	0	0	0	-3.30	$\pm$ 8.30	1.01	$\pm$ 0.03	0.98
NIT 1.37	W8J2109a	13.56	14.40	100	0	0	0	0	-4.64	$\pm$ 10.12	1.01	$\pm$ 0.03	0.97
NIT 1.37	W8J2136a	19.36	18.93	85	15	0	0	0	0.22	$\pm$ 11.85	1.00	$\pm$ 0.06	0.91
NIT 1.37	W8J2137a	16.06	15.10	94	6	0	0	0	3.67	$\pm$ 8.94	0.98	$\pm$ 0.04	0.94
NIT 1.37	W8J2205a	20.85	21.65	95	5	0	0	0	2.03	$\pm$ 14.00	0.99	$\pm$ 0.05	0.92
NIT 1.37	W8J2206a	32.16	34.42	78	22	0	0	0	16.49	$\pm$ 25.53	0.93	$\pm$ 0.10	0.76
NIT 1.37	W8J2209a	25.74	23.48	91	9	0	0	0	-1.98	$\pm$ 15.45	1.00	$\pm$ 0.05	0.91
NIT 1.37	W8J2210a	13.60	12.36	100	0	0	0	0	-1.85	$\pm$ 7.75	1.02	$\pm$ 0.03	0.97
NIT 1.37	W8J2236a	18.67	17.54	97	3	0	0	0	-19.73	$\pm$ 16.71*	1.08	$\pm$ 0.07*	0.88
NIT 1.37	W8J2237a	12.12	12.36	100	0	0	0	0	7.83	$\pm$ 9.64	0.97	$\pm$ 0.04	0.94
NIT 1.37	W8J2305a	15.90	18.11	90	10	0	0	0	3.21	$\pm$ 12.29	0.99	$\pm$ 0.05	0.92
NIT 1.37	W8J2306a	14.33	13.86	100	0	0	0	0	-0.12	$\pm$ 9.31	1.01	$\pm$ 0.03	0.96
NIT 1.37	W8J2309a	14.53	14.14	97	3	0	0	0	-5.02	$\pm$ 9.51	1.03	$\pm$ 0.04	0.95
NIT 1.37	W8J2310a	10.89	9.85	100	0	0	0	0	0.25	$\pm$ 6.34	1.00	$\pm$ 0.02	0.98
NIT 1.37	W8J2336a	10.29	10.10	100	0	0	0	0	2.68	$\pm$ 5.90	0.99	$\pm$ 0.02	0.98
NIT 1.37	W8J2337a	8.45	9.15	99	1	0	0	0	-3.41	$\pm$ 5.62	1.01	$\pm$ 0.02	0.99
NIT 1.37	W8K1605a	12.06	11.59	91	9	0	0	0	0.59	$\pm$ 3.83	1.00	$\pm$ 0.02	0.99
NIT 1.37	W8K1606a	11.86	12.66	94	6	0	0	0	10.44	$\pm$ 7.16*	0.94	$\pm$ 0.04*	0.98
NIT 1.37	W8K1609a	11.80	13.55	96	4	0	0	0	-1.46	$\pm$ 4.60	1.01	$\pm$ 0.02	0.99
NIT 1.37	W8K1610a	13.74	12.91	93	7	0	0	0	-2.58	$\pm$ 5.67	1.01	$\pm$ 0.03	0.98
NIT 1.37	W8K1705a	11.86	11.27	88	12	0	0	0	1.11	$\pm$ 6.37	1.00	$\pm$ 0.04	0.96
NIT 1.37	W8K1709a	5.17	5.22	99	1	0	0	0	0.94	$\pm$ 2.80	0.99	$\pm$ 0.02	0.99
NIT 1.37	W8K1736a	17.81	16.63	78	22	0	0	0	-0.01	$\pm$ 7.93	0.99	$\pm$ 0.04	0.97
NIT 1.37	W8K1737a	13.80	13.94	88	12	0	0	0	-8.79	$\pm$ 6.86*	1.03	$\pm$ 0.03*	0.98
NIT 1.37	W8K1836a	27.99	30.42	63	37	0	0	0	16.33	$\pm$ 9.19*	0.90	$\pm$ 0.05*	0.93
NIT 1.37	W8K1837a	30.20	30.42	59	41	0	0	0	4.52	$\pm$ 9.97	0.97	$\pm$ 0.06	0.92
NIT 1.37	W8K1936a	33.51	32.85	59	40	0	0	0	6.99	$\pm$ 11.18	0.98	$\pm$ 0.06	0.91
NIT 1.37	W8K1937a	44.89	49.43	47	47	6	1	0	-1.24	$\pm$ 19.35	0.99	$\pm$ 0.10	0.79
NIT 1.37	W8K2005a	35.98	31.29	70	30	0	0	0	-8.02	$\pm$ 16.27	1.03	$\pm$ 0.08	0.86
NIT 1.37	W8K2009a	35.64	34.71	71	29	0	0	0	-1.79	$\pm$ 19.00	1.00	$\pm$ 0.09	0.82
NIT 1.37	W8K2036a	28.52	26.84	73	26	0	0	0	-5.20	$\pm$ 10.51	1.02	$\pm$ 0.06	0.93
NIT 1.37	W8K2037a	23.45	25.89	75	25	0	0	0	5.04	$\pm$ 9.49	0.96	$\pm$ 0.05	0.94

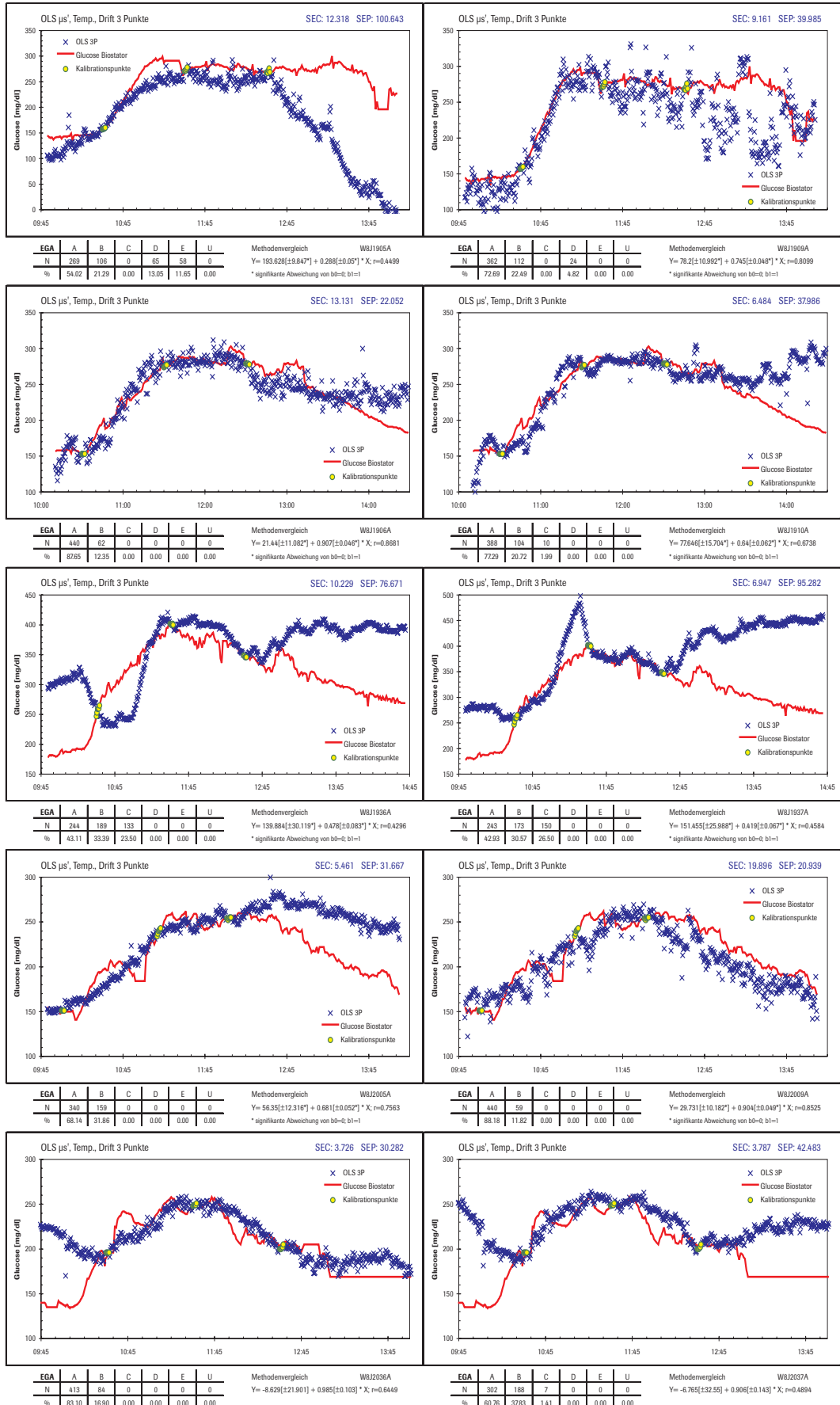
## A10 Ergebnisse PCR-Intensitäts-Modelle mit drei Kalibrationspunkten

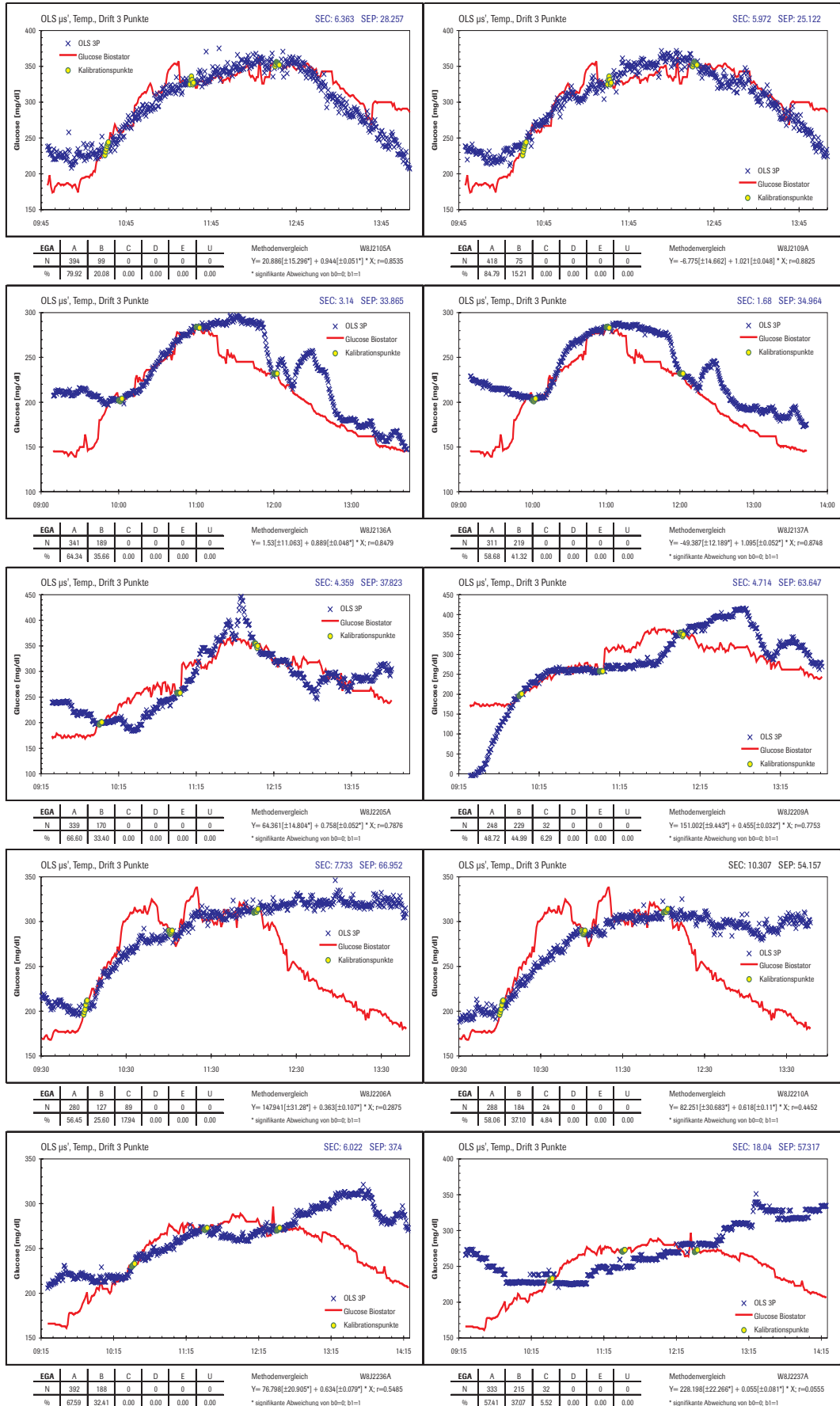
PCR-I 3P		SEC	SEP	EGA [%]					Wiederfindungsfunktion				
Sensor	Experiment	[mg/dl]	[mg/dl]	A	B	C	D	E	$b_0$	$\pm \Delta b_0$	$b_1$	$\pm \Delta b_1$	r
Mark II	P6D2207a_L	8.48	105.89	30	41	5	21	4	132.97	$\pm$ 6.41*	0.52	$\pm$ 0.04*	0.61
Mark II	P6D2207a_R	6.57	87.89	32	55	0	12	0	105.75	$\pm$ 6.68*	0.66	$\pm$ 0.04*	0.69
Mark II	P6D2307a_L	15.66	89.86	30	62	7	1	0	87.57	$\pm$ 6.16*	0.43	$\pm$ 0.03*	0.64
Mark II	P6D2307a_R	13.78	196.38	26	56	15	2	0	133.49	$\pm$ 6.68*	0.10	$\pm$ 0.02*	0.25
Mark II	P6D2407a_L	14.96	73.45	36	51	5	8	0	89.63	$\pm$ 8.69*	0.62	$\pm$ 0.04*	0.68
Mark II	P6D2407a_R	14.85	119.81	32	49	10	9	0	144.58	$\pm$ 8.25*	0.30	$\pm$ 0.04*	0.48
Mark II	P6D2507a_L	5.58	74.04	35	49	11	4	0	39.08	$\pm$ 12.26*	0.71	$\pm$ 0.06*	0.61
Mark II	P6D2507a_R	9.42	103.30	37	49	11	2	0	112.82	$\pm$ 9.91*	0.36	$\pm$ 0.04*	0.44
Mark II	P6D2607a_L	26.35	76.75	39	49	12	0	0	83.21	$\pm$ 6.28*	0.59	$\pm$ 0.03*	0.75
Mark II	P6D2607a_R	26.53	126.94	36	46	17	1	0	129.93	$\pm$ 9.91*	0.26	$\pm$ 0.04*	0.35
Mark II	P6D2707a_L	13.42	172.12	16	59	6	10	9	188.82	$\pm$ 6.90*	-0.03	$\pm$ 0.05*	0.03
Mark II	P6D2707a_R	15.45	139.09	25	46	3	15	11	162.72	$\pm$ 7.51*	0.23	$\pm$ 0.05*	0.28
Mark II	P6G3007a_L	9.54	127.76	13	41	14	32	0	314.49	$\pm$ 18.90*	-0.74	$\pm$ 0.11*	0.35
Mark II	P6G3007a_R	10.05	130.10	17	41	15	27	0	239.39	$\pm$ 15.51*	-0.31	$\pm$ 0.09*	0.18
Mark II	P6G3107a_L	9.59	76.11	51	35	14	0	0	-29.57	$\pm$ 11.52*	0.95	$\pm$ 0.04*	0.80
Mark II	P6G3107a_R	14.74	114.83	41	43	10	5	2	127.36	$\pm$ 7.53*	0.47	$\pm$ 0.03*	0.66
Mark II	P6H0107a_L	11.62	105.09	30	51	2	11	5	103.73	$\pm$ 13.94*	0.58	$\pm$ 0.07*	0.47
Mark II	P6H0107a_R	11.32	122.79	23	53	5	10	10	138.34	$\pm$ 12.74*	0.43	$\pm$ 0.07*	0.37
Mark II	P6H0207a_L	12.02	380.55	16	32	49	4	0	205.01	$\pm$ 9.24*	-0.05	$\pm$ 0.02*	0.14
Mark II	P6H0207a_R	10.90	369.76	16	28	52	4	0	209.00	$\pm$ 9.24*	-0.06	$\pm$ 0.02*	0.17
Mark II	P6H0605a_L	8.49	47.14	52	48	0	0	0	14.57	$\pm$ 7.06*	0.95	$\pm$ 0.03*	0.87
Mark II	P6H0605a_R	5.13	39.36	55	45	0	0	0	5.96	$\pm$ 5.94	0.98	$\pm$ 0.03	0.91
Mark II	P6H0805a_L	17.44	74.55	30	53	5	11	0	38.15	$\pm$ 11.68*	0.82	$\pm$ 0.06*	0.63
Mark II	P6H0805a_R	16.71	81.40	31	51	15	2	0	6.73	$\pm$ 15.12	0.84	$\pm$ 0.07*	0.59
Mark II	P6H0905a_L	6.67	97.81	34	45	13	6	2	95.55	$\pm$ 13.24*	0.60	$\pm$ 0.06*	0.52
Mark II	P6H0905a_R	8.95	126.85	26	61	7	5	1	131.03	$\pm$ 6.24*	0.44	$\pm$ 0.03*	0.64
NIT 1.37e	E8C0201a	13.21	28.99	60	40	0	0	0	28.92	$\pm$ 8.92*	0.93	$\pm$ 0.04*	0.96
NIT 1.37e	E8C0203a	12.70	39.04	53	47	0	0	0	42.48	$\pm$ 10.89*	0.89	$\pm$ 0.06*	0.93
NIT 1.37e	E8C0301a	9.93	27.52	66	33	0	0	0	-16.70	$\pm$ 8.19*	1.04	$\pm$ 0.04*	0.92
NIT 1.37e	E8C0303a	8.12	24.56	77	23	0	0	0	4.50	$\pm$ 6.74	0.96	$\pm$ 0.03*	0.93
NIT 1.37e	E8C0401a	4.43	79.55	41	48	9	2	0	60.51	$\pm$ 14.71*	0.66	$\pm$ 0.07*	0.67
NIT 1.37e	E8C0403a	21.89	50.92	56	38	6	0	0	13.94	$\pm$ 9.86*	0.86	$\pm$ 0.04*	0.88
NIT 1.37e	E8C0501a	4.61	45.48	63	34	2	0	0	-16.44	$\pm$ 7.74*	1.03	$\pm$ 0.03	0.89
NIT 1.37e	E8C0503a	5.51	109.07	25	39	7	29	0	138.16	$\pm$ 13.31*	0.43	$\pm$ 0.07*	0.36
NIT 1.37e	E8C0601a	7.68	41.05	66	31	0	3	0	-0.51	$\pm$ 8.63	1.08	$\pm$ 0.05*	0.92
NIT 1.37e	E8C0603a	5.73	45.81	56	41	2	1	0	-12.48	$\pm$ 11.01*	1.02	$\pm$ 0.05	0.88
NIT 1.36	K6H0560a	8.85	144.94	28	44	6	18	3	151.42	$\pm$ 11.73*	0.39	$\pm$ 0.06*	0.58
NIT 1.36	K6H0607a	4.58	214.81	21	67	6	6	0	195.62	$\pm$ 12.84*	0.07	$\pm$ 0.09*	0.10
NIT 1.36	K6H0654a	3.33	64.52	42	49	9	1	0	11.97	$\pm$ 16.10	0.81	$\pm$ 0.06*	0.84
NIT 1.36	K6H0655a	7.21	76.86	43	45	0	12	0	66.19	$\pm$ 16.47*	0.84	$\pm$ 0.09*	0.75
NIT 1.36	K6H0660a	6.34	152.40	28	39	5	12	16	165.25	$\pm$ 14.68*	0.32	$\pm$ 0.09*	0.40
NIT 1.36	K6H0754a	3.84	63.16	52	47	2	0	0	59.03	$\pm$ 12.06*	0.72	$\pm$ 0.06*	0.81
NIT 1.36	K6H0954a	10.98	63.33	32	66	1	0	0	-30.81	$\pm$ 21.29*	1.22	$\pm$ 0.11*	0.82
NIT 1.36	K6I11654a	11.66	67.79	46	42	11	1	0	58.62	$\pm$ 18.38*	0.68	$\pm$ 0.08*	0.73
NIT 1.36	K6I2018a	7.64	132.37	44	25	31	0	0	108.18	$\pm$ 31.44*	0.35	$\pm$ 0.11*	0.38
NIT 1.36	K6I2063a	6.06	128.25	43	27	30	0	0	99.81	$\pm$ 32.26*	0.39	$\pm$ 0.12*	0.40
NIT 1.36	K6I2065a	9.18	91.84	40	46	6	7	0	85.78	$\pm$ 21.27*	0.66	$\pm$ 0.11*	0.63
NIT 1.36	K6I2067a	10.83	177.48	41	51	2	6	0	164.14	$\pm$ 7.88*	0.43	$\pm$ 0.04*	0.85
NIT 1.36	K6K2507a	27.18	105.88	28	64	7	0	0	102.51	$\pm$ 9.76*	0.45	$\pm$ 0.05*	0.70
NIT 1.36	K6K2763a	6.06	175.10	43	48	9	0	0	139.91	$\pm$ 5.87*	0.33	$\pm$ 0.03*	0.79
NIT 1.36	K6K2963a	6.42	131.16	42	29	29	0	0	100.99	$\pm$ 15.54*	0.28	$\pm$ 0.06*	0.48
NIT 1.36	K6K2965a	3.39	64.65	44	44	12	0	0	26.59	$\pm$ 14.62*	0.71	$\pm$ 0.07*	0.77

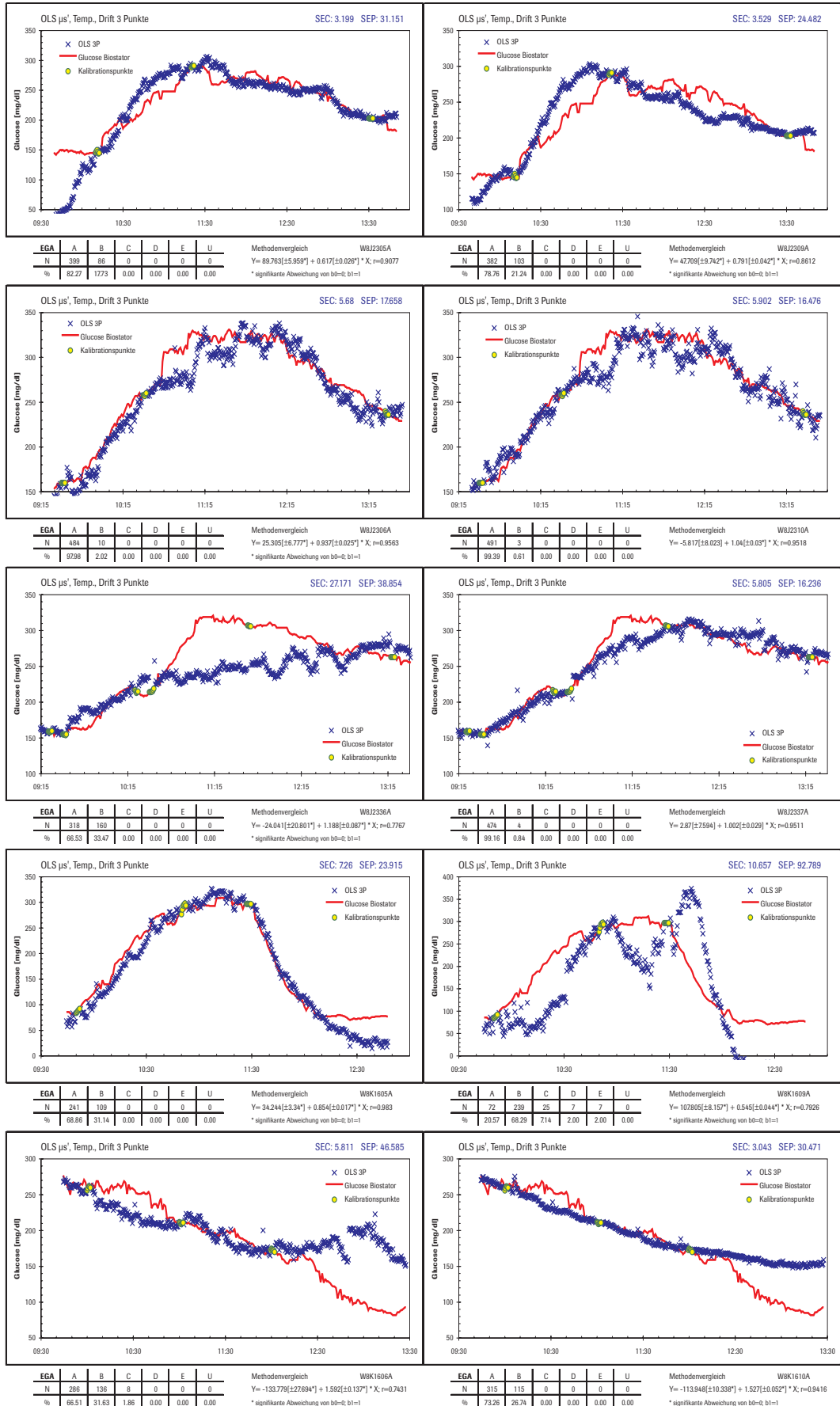
PCR-I 3P		SEC	SEP	EGA [%]					Wiederfindungsfunktion				
Sensor	Experiment	[mg/dl]	[mg/dl]	A	B	C	D	E	$b_0$	$\pm \Delta b_0$	$b_1$	$\pm \Delta b_1$	r
NIT 1.37	W8H1739A	12.14	78.93	47	40	13	0	0	71.87	$\pm 7.49^*$	0.49	$\pm 0.03^*$	0.83
NIT 1.37	W8H1745A	26.51	38.39	73	12	0	15	0	-26.35	$\pm 12.18^*$	1.09	$\pm 0.06^*$	0.85
NIT 1.37	W8H1805A	1.80	57.25	65	24	5	3	2	8.80	$\pm 14.37$	0.75	$\pm 0.08^*$	0.65
NIT 1.37	W8H1809A	1.82	41.22	64	30	0	6	0	-28.50	$\pm 11.06^*$	1.02	$\pm 0.07$	0.82
NIT 1.37	W8H1939A	3.85	38.10	55	45	0	0	0	13.54	$\pm 6.96^*$	0.84	$\pm 0.04^*$	0.88
NIT 1.37	W8H1945A	4.85	56.86	53	41	5	0	0	23.69	$\pm 8.84^*$	0.71	$\pm 0.04^*$	0.80
NIT 1.37	W8H2005A	3.64	24.19	70	30	0	0	0	-5.40	$\pm 11.31$	1.00	$\pm 0.07$	0.81
NIT 1.37	W8H2009A	3.38	26.57	65	35	0	0	0	5.50	$\pm 15.77$	0.89	$\pm 0.09^*$	0.63
NIT 1.37	W8H2105A	1.67	24.37	67	33	0	0	0	-75.62	$\pm 6.86^*$	1.43	$\pm 0.04^*$	0.96
NIT 1.37	W8H2109A	2.59	25.61	72	28	0	0	0	12.73	$\pm 5.78^*$	1.01	$\pm 0.03$	0.94
NIT 1.37	W8J1905a	13.89	112.68	55	27	0	11	8	200.54	$\pm 8.18^*$	0.25	$\pm 0.04^*$	0.48
NIT 1.37	W8J1906a	6.42	31.43	81	19	0	0	0	22.12	$\pm 18.40^*$	0.88	$\pm 0.07^*$	0.72
NIT 1.37	W8J1909a	9.71	29.44	83	17	0	0	0	26.13	$\pm 10.78^*$	0.95	$\pm 0.05^*$	0.88
NIT 1.37	W8J1910a	6.17	29.88	80	20	0	0	0	46.38	$\pm 13.04^*$	0.77	$\pm 0.05^*$	0.80
NIT 1.37	W8J1936a	9.21	106.28	31	25	43	0	0	175.07	$\pm 26.87^*$	0.35	$\pm 0.07^*$	0.39
NIT 1.37	W8J1937a	9.02	77.87	46	30	24	0	0	102.37	$\pm 20.33^*$	0.57	$\pm 0.05^*$	0.65
NIT 1.37	W8J2005a	4.47	27.98	68	32	0	0	0	36.68	$\pm 11.85^*$	0.77	$\pm 0.05^*$	0.80
NIT 1.37	W8J2009a	9.63	33.81	63	37	0	0	0	28.11	$\pm 13.42^*$	0.78	$\pm 0.06^*$	0.78
NIT 1.37	W8J2036a	2.79	31.29	83	17	0	0	0	3.06	$\pm 22.76$	0.93	$\pm 0.11$	0.61
NIT 1.37	W8J2037a	4.55	44.51	61	36	3	0	0	28.07	$\pm 35.06$	0.75	$\pm 0.15^*$	0.40
NIT 1.37	W8J2105a	6.64	26.89	87	13	0	0	0	31.29	$\pm 13.21^*$	0.92	$\pm 0.04^*$	0.88
NIT 1.37	W8J2109a	7.64	22.19	88	12	0	0	0	-18.21	$\pm 12.85^*$	1.05	$\pm 0.04^*$	0.91
NIT 1.37	W8J2136a	3.57	32.19	68	32	0	0	0	-0.09	$\pm 10.77$	0.90	$\pm 0.05^*$	0.86
NIT 1.37	W8J2137a	2.02	33.27	75	25	0	0	0	-29.22	$\pm 11.65^*$	1.02	$\pm 0.05$	0.87
NIT 1.37	W8J2205a	5.87	35.10	70	30	0	0	0	52.58	$\pm 14.56^*$	0.82	$\pm 0.05^*$	0.81
NIT 1.37	W8J2206a	6.29	64.66	65	21	14	0	0	134.13	$\pm 24.70^*$	0.42	$\pm 0.09^*$	0.40
NIT 1.37	W8J2209a	5.48	64.05	49	45	6	0	0	151.65	$\pm 9.48^*$	0.45	$\pm 0.03^*$	0.77
NIT 1.37	W8J2210a	17.27	41.98	65	35	0	0	0	-12.60	$\pm 25.82$	0.98	$\pm 0.09$	0.68
NIT 1.37	W8J2236a	3.71	31.68	69	31	0	0	0	22.43	$\pm 20.40^*$	0.85	$\pm 0.08^*$	0.67
NIT 1.37	W8J2237a	11.58	32.14	72	28	0	0	0	-28.48	$\pm 27.17^*$	1.05	$\pm 0.10$	0.63
NIT 1.37	W8J2305a	4.40	31.10	83	17	0	0	0	89.55	$\pm 5.83^*$	0.62	$\pm 0.02^*$	0.91
NIT 1.37	W8J2306a	8.80	19.41	98	2	0	0	0	14.30	$\pm 6.85^*$	0.99	$\pm 0.03$	0.96
NIT 1.37	W8J2309a	4.22	26.64	75	25	0	0	0	58.60	$\pm 9.78^*$	0.75	$\pm 0.04^*$	0.85
NIT 1.37	W8J2310a	4.47	14.17	100	0	0	0	0	10.25	$\pm 6.51^*$	0.97	$\pm 0.02^*$	0.96
NIT 1.37	W8J2336a	10.44	11.42	100	0	0	0	0	16.77	$\pm 4.74^*$	0.94	$\pm 0.02^*$	0.98
NIT 1.37	W8J2337a	4.67	11.02	100	0	0	0	0	-5.52	$\pm 5.18^*$	1.03	$\pm 0.02^*$	0.98
NIT 1.37	W8K1605a	5.55	98.43	57	43	0	0	0	112.86	$\pm 3.98^*$	0.51	$\pm 0.02^*$	0.94
NIT 1.37	W8K1606a	3.36	41.87	70	30	0	0	0	-155.26	$\pm 20.49^*$	1.69	$\pm 0.10^*$	0.85
NIT 1.37	W8K1609a	5.76	38.72	62	38	0	0	0	56.83	$\pm 3.63^*$	0.74	$\pm 0.02^*$	0.97
NIT 1.37	W8K1610a	3.02	29.84	74	26	0	0	0	-114.57	$\pm 9.93^*$	1.54	$\pm 0.05^*$	0.95
NIT 1.37	W8K1705a	3.26	30.54	58	42	0	0	0	63.64	$\pm 7.63^*$	0.62	$\pm 0.05^*$	0.76
NIT 1.37	W8K1709a	1.94	6.59	98	2	0	0	0	-0.35	$\pm 2.38$	0.99	$\pm 0.01$	0.99
NIT 1.37	W8K1736a	61.93	32.43	64	36	0	0	0	51.92	$\pm 6.73^*$	0.81	$\pm 0.03^*$	0.93
NIT 1.37	W8K1737a	11.10	39.31	68	32	0	0	0	60.19	$\pm 9.15^*$	0.72	$\pm 0.04^*$	0.87
NIT 1.37	W8K1836a	3.15	54.01	53	40	8	0	0	-10.80	$\pm 13.69$	0.92	$\pm 0.07^*$	0.80
NIT 1.37	W8K1837a	3.63	53.87	63	29	8	0	0	4.35	$\pm 13.42$	0.86	$\pm 0.07^*$	0.79
NIT 1.37	W8K1936a	3.85	65.95	64	22	14	0	0	17.98	$\pm 17.26$	0.79	$\pm 0.08^*$	0.68
NIT 1.37	W8K1937a	7.14	129.56	48	28	24	0	0	115.43	$\pm 14.64^*$	0.27	$\pm 0.05^*$	0.42
NIT 1.37	W8K2005a	5.62	49.15	71	20	9	0	0	17.49	$\pm 20.68$	0.86	$\pm 0.09^*$	0.64
NIT 1.37	W8K2009a	1.78	56.07	69	19	12	0	0	43.21	$\pm 20.61^*$	0.71	$\pm 0.09^*$	0.59
NIT 1.37	W8K2036a	15.03	61.84	59	30	12	0	0	13.07	$\pm 16.35$	0.78	$\pm 0.08^*$	0.71
NIT 1.37	W8K2037a	8.13	99.76	48	45	7	0	0	113.25	$\pm 8.39^*$	0.37	$\pm 0.04^*$	0.67

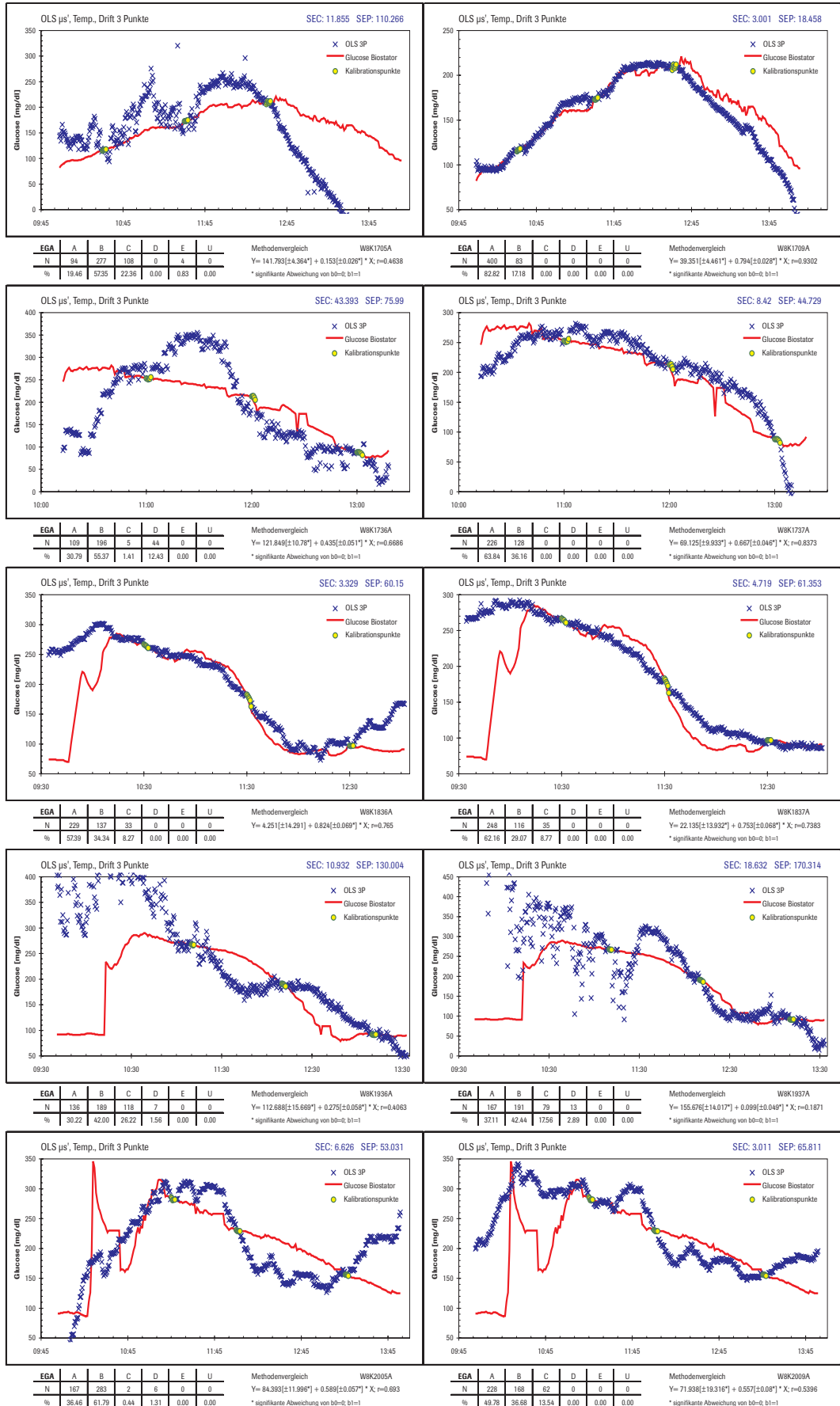
## A11 Übersichtsdarstellung Resultate OLS-3P

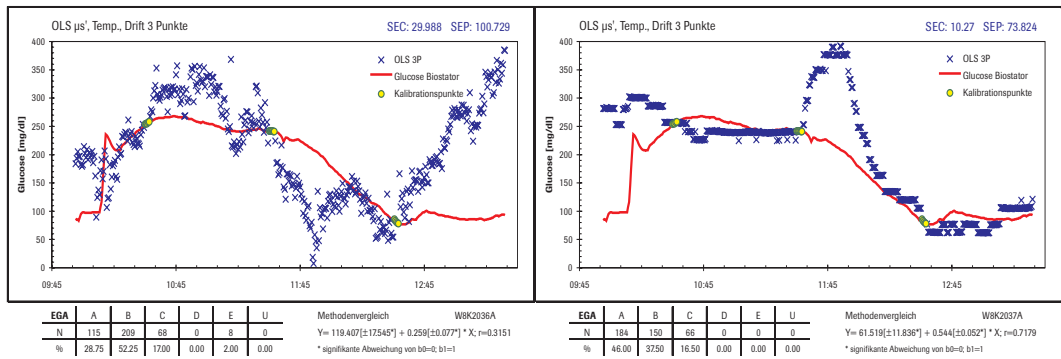












## A12 Übersichtsdarstellung Dreipunktkalibration PCR Intensitäten

